

مطالعه ارتباط مدول استاتیک و دینامیک خاکریز راه‌آهن سریع السیر

مرتضی اسماعیلی، دانشیار، دانشکده مهندسی راه‌آهن، دانشگاه علم و صنعت ایران، تهران
مینا معماری، کارشناس ارشد مهندسی عمران- راه و ترابری، تهران
فاطمه خطیبی^{*}، دانشجوی دکتری، دانشکده مهندسی راه‌آهن، دانشگاه علم و صنعت ایران، تهران

E-mail: f_khatibi@iust.ac.ir

دریافت: ۹۳/۱۱/۱۰ - پذیرش: ۹۴/۰۳/۱۷

چکیده

مدول الاستیسیته استاتیک به دست آمده از سیکل دوم آزمایش بارگذاری صفحه (E_{v2}) پارامتری کلیدی در تعیین میزان ظرفیت باربری و نشت خاکریز راه‌آهن و در نتیجه ارزیابی کیفیت خط است. در خطوط سریع السیر، تأمین ظرفیت باربری و کترل نشت لایه‌های زیرسازی، نسبت به خطوط معمولی، از اهمیت بیشتری برخوردار است. لذا، آئین نامه‌های زیرسازی راه‌آهن سریع السیر، مقدار مجاز پارامتر E_{v2} را برای هر لایه از خاکریز به طور مجزا تعریف می‌کنند. آزمایش بارگذاری صفحه، که برای تعیین E_{v2} صورت می‌گیرد، پرهزینه و زمانبر است. ولی آزمایش‌هایی مانند افت و خیزسنج ضربه‌ای سبک که مدول دینامیک خاکریز را اندازه‌گیری می‌کنند مقرن به صرفه‌تر هستند. در این مقاله، نتایج به دست آمده از آزمایش‌های میدانی بارگذاری صفحه و افت و خیزسنج ضربه‌ای سبک، که روی لایه‌های مختلف خاکریز در کیلومتر از مسیر راه‌آهن سریع السیر قم-اصفهان انجام گرفته، پردازش شده و رابطه میان آنها به کمک روش‌های رگرسیون خطی و غیرخطی تعیین شده است. ارتباط میان نتایج این داده‌های میدانی با نتایج تعدادی تست آزمایشگاهی در مورد نسبت باربری کالیفرنیا نیز به روشهای مشابه استخراج شده است. همچنین، با به کارگیری تحلیل بازگشتی، مدول استاتیک و دینامیک هر لایه به تفکیک تعیین شده است.

واژه‌های کلیدی: آزمایش بارگذاری صفحه، آزمایش افت و خیزسنج ضربه‌ای سبک، نسبت باربری کالیفرنیا، مدول الاستیسیته، تحلیل بازگشتی

مشخصات فنی، تأمین ایمنی حرکت قطار در سراسر طول خط و ایجاد شتاب قابل تحمل برای مسافرین، دو چالش مهم در طراحی خطوط پرسرعت هستند. حل این چالش‌ها با محدود نمودن نشت‌های آنی و بلندمدت لایه‌های روسازی و زیرسازی مسیر ممکن می‌گردد. به دلیل سرعت قابل توجه و ارتعاشات زیاد ناشی از حرکت قطارهای سریع السیر، ضوابط مربوط

۱. مقدمه

در سال‌های اخیر، افزایش تعداد مسافر، محدودیت ظرفیت ناوگان هوایی و آسیب‌های زیست‌محیطی ناشی از سوخت هوایی‌ها، قطارهای سریع السیر را به مطلوب‌ترین سیستم حمل و نقل در سرعت سیر بیشتر از ۲۰۰ کیلومتر بر ساعت تبدیل نموده است. از دیدگاه

می‌کنند، تاکنون تحقیقات زیادی در راستای استخراج رابطه میان نتایج آزمایش‌های اندازه‌گیری مدول الاستیسیته استاتیک و دینامیک صورت گرفته است. آئین‌نامه آلمان در سال ۱۹۸۷، رابطه‌ای برای محاسبه نتیجه آزمایش بارگذاری صفحه از روی نتایج آزمایش LFWD ارائه کرده است. مقایسه مدول استاتیک بهدست آمده از روش‌های آزمایشگاهی با مدول دینامیک آزمایش FWD در کارولینای شمالی نشان داد که نسبت مدول استاتیک به مدول دینامیک بهدست آمده از FWD بین ۰/۱۸ و ۰/۴۴ تغییر می‌کند (علی و خوسلا، ۱۹۸۷). در تحقیقات مشابه در ایالت واشنگتن، این نسبت بین ۰/۸ و ۱/۳ بهدست آمد (نیوکُمب، ۱۹۸۷). محققین دیگری با مطالعه عملکرد درازمدت لایه‌های روسازی، این نسبت را بیش از ۰/۱ و کمتر یا مساوی ۳/۵ محاسبه نموده‌اند (فون کیتانس و کیلینگزوورث، ۱۹۹۸). در تحقیقات سایر محققین در این زمینه، براساس نوع لایه‌های روسازی، نسبت‌های مختلفی بین مدول استاتیک تعیین شده در آزمایشگاه و مدول دینامیک میدانی بهدست آمده است. در یک نمونه از این تحقیقات، مدول استاتیک آزمایشگاهی تقریباً دو برابر مدول دینامیک تست FWD محاسبه شده است (چن و همکاران، ۱۹۹۹). بر اساس نتایج پروژه تحقیقاتی مینه‌سوتا، انجام آزمایش FWD روی لایه سایگرید با مشکلات زیادی همراه است و رابطه ضعیفی بین مدول بهدست آمده از آن و مدول استاتیک آزمایشگاهی بهدست می‌آید (ون دوسان و همکاران، ۱۹۹۴؛ کامارگو و همکاران، ۲۰۰۶). اما در مطالعات صورت گرفته در ایالت می‌سی‌بی در مورد لایه بستر راه، با استفاده از تست FWD، رابطه قویتری بین نتایج این تست و تست‌های آزمایشگاهی اندازه‌گیری مدول الاستیسیته استاتیک حاصل شده است (جرج، ۲۰۰۳).

مروری بر تحقیقات انجام شده در این حوزه نشان می‌دهد که رابطه منحصر به فردی بین دو مدول

به زیرسازی این خطوط با ضوابط زیرسازی خطوط معمولی متفاوت است. آئین‌نامه اتحادیه بین‌المللی راه‌آهن‌ها (UIC716R) و نشریه ۳۹۴ سازمان مدیریت و برنامه‌ریزی کشور، رعایت حدود مشخصی از Ev₂ را برای هر یک از لایه‌های زیرسازی ضروری می‌داند. نشریه ۲۷۹ سازمان مدیریت و برنامه‌ریزی کشور نیز رعایت حد مشخصی از درصد تراکم و شاخص CBR شرایط اشباع را برای هر لایه الزامی کرده است. آزمایش بارگذاری صفحه، به عنوان روش تعیین Ev₂ یک آزمایش پرهزینه و زمانبر است. با افزایش طول و عرض خاکریز مورد بررسی، تعداد آزمایش‌های مورد نیاز در مقاطع طولی و عرضی افزایش یافته و با افزایش ارتفاع خاکریز، باید آزمایش را در ترازهای ارتفاعی مختلف تکرار نمود. لذا، به دلیل صرف زمان و هزینه قابل توجه، اندازه‌گیری Ev₂ تمام لایه‌ها از نظر اجرایی امکان‌پذیر نبوده و جایگزینی سریعتر و ارزان‌تر، ضروری به نظر می‌رسد.

در سال ۱۹۹۳، راهنمای طراحی آئین‌نامه آشتو، مدول برجهندگی M_R را به عنوان پارامتری برای ارزیابی روسازی راه معرفی نموده و روش استاندارد آزمایش جهت تعیین آن را ارائه نموده است. اما به دلیل پیچیدگی روش‌های آزمایشگاهی تعیین M_R آزمایش‌های میدانی ساده‌تری برای این منظور ابداع شده‌اند. آزمایش افت و خیزسنج ضربه‌ای (FWD)، اولین آزمایش در این حوزه است که با اندازه‌گیری تغییرشکل لایه مورد نظر و انجام محاسبات معکوس، مدول الاستیسیته دینامیک، E_d، لایه‌های روسازی و زیرسازی راه را تعیین می‌نماید. به دلیل هزینه زیاد این آزمایش، نیاز به واسنجی منظم دستگاه و حضور اپراتور آموزش دیده، دستگاه این آزمایش اصلاح و تکمیل گردید و آزمایش‌های افت و خیزسنج ضربه‌ای سبک (LWD) و LFWD) ابداع گردیدند. با توجه به وجود روابط آئین‌نامه‌ای مبتنی بر Ev₂ و سهولت بیشتر در انجام آزمایش‌هایی که پارامتر E_d را اندازه‌گیری

مدول الاستیستیه استاتیک و دینامیک، مدول استاتیک هر یک از لایه‌های خاکریز محاسبه شده است.

۲. مواد و روش‌ها

۱-۲. معرفی مسیر مورد بررسی و آزمایش‌ها

راه آهن سریع السیر تهران-قم-اصفهان اولین خط ریلی پُر سرعت ایران است. اجرای بخش قم-اصفهان در این پروژه از سال ۱۳۸۶ با طول ۴۱۸ کیلومتر و برای سرعت طرح ۳۵۰ کیلومتر بر ساعت آغاز شده است. شکل ۱ پلان این مسیر را روی یک عکس هوایی نشان می‌دهد. به منظور کنترل کیفیت بستر طبیعی و خاکریز، در طول مسیر تعداد زیادی آزمایش بارگذاری صفحه، افت و خیزسنج ضربه‌ای سبک و نسبت باربری کالیفرنیا انجام شده است. نتایج آزمایش‌های انجام شده در کیلومتر از ۰+۰۰۰ تا ۵۰+۰۰۰ در این مقاله پردازش شده‌اند. با توجه به تنوع خاک در طول مسیر، نتایج آزمایش‌های انجام شده روی مصالح خاکی از نوع CL، SM-SC، SC، GM-GC و SM به دست آمده‌اند. در ادامه، جزئیات بیشتری از هر یک از آزمایش‌ها شرح داده شده است.



شکل ۱. نقشه هوایی مسیر راه آهن قم-اصفهان

توسعه و تکامل تست FWD به دست آمده، دارای دستگاهی سبک و قابل حمل بوده و اجرای آن نیاز به مهارت زیادی ندارد. استقرار دستگاه در محل و

استیستیه استاتیک و دینامیک وجود ندارد و چنین رابطه‌ای باید برای هر پروژه به صورت جداگانه تعیین گردد. همچنین، روابط ارائه شده تاکنون، که در این حوزه به آنها اشاره می‌شود، به تحقیقات صورت گرفته روی لایه‌های روسازی و زیرسازی راه اختصاص دارند و در خصوص ارتباط میان E_{v2} و E_d خاکریزهای راه آهن، رابطه‌ای شاخص در ادبیات موضوع دیده نمی‌شود. از این رو، تعیین رابطه‌ای دقیق و کارآمد بین مدول الاستیستیه استاتیک و دینامیک خاکریز راه آهن ضروری به نظر می‌رسد.

در این مقاله، با هدف دستیابی به چنین رابطه‌ای، نتایج آزمایش‌های بارگذاری صفحه، افت و خیزسنج ضربه‌ای سبک و نسبت باربری کالیفرنیا که روی خاکریز راه آهن سریع السیر تهران-قم-اصفهان (بخش قم-اصفهان) انجام شده‌اند، پردازش شده و با کمک روش‌های رگرسیون خطی و غیرخطی، روابط میان نتایج آزمایش‌ها به دست آمده است. همچنین، با استفاده از انجام تحلیل بازگشتی نتایج آزمایش افت و خیزسنج ضربه‌ای سبک، مدول الاستیستیه دینامیک لایه‌های زیربالاست، بستر و بستر طبیعی به تفکیک محاسبه شده است. سپس، با استفاده از روابط تحلیلی موجود میان

۲-۲. آزمایش افت و خیزسنج ضربه‌ای سبک آزمایش افت و خیزسنج ضربه‌ای سبک^۱ (LWD) که از

1- Light Weight Deflectometer

لایه‌های خاکریز در آئین نامه‌های راه‌آهن است. در مسیر راه‌آهن قم- اصفهان، به منظور ایجاد امکان مقایسه میان نتایج آزمایش‌ها، محل انجام تست‌های بارگذاری صفحه و افت و خیزسنج ضربه‌ای سبک منطبق می‌باشدند. اما به دلیل اینکه انجام آزمایش بارگذاری صفحه مستلزم صرف زمان و هزینه بیشتر است، تعداد ۱۴۰ تست بارگذاری صفحه با دو نوع صفحه بارگذاری مربعی (با بعد ۳۰ سانتی‌متر) و دایره‌ای (با قطر ۴۵ سانتی‌متر) در طول مسیر انجام شده است. شکل ۳ تصویر یکی از آزمایش‌های صورت گرفته در مسیر را نشان می‌دهد.

۴-۲. آزمایش نسبت باربری کالیفرنیا

آزمایش تعیین نسبت باربری کالیفرنیا^۱ به طور گسترده جهت بررسی کیفیت مصالح خاکریز، زیراساس و اساس راه‌ها مورد استفاده قرار می‌گیرد. این آزمایش روی نمونه‌هایی از خاک که با درصد رطوبت بهینه ASTM-D1557 و یا ASTM-D698 مطابق استاندارد CBR شده‌اند، انجام می‌شود. محاسبه عدد مطابق رابطه (۱) صورت می‌پذیرد:



شکل ۳. آزمایش بارگذاری صفحه در مسیر خاکریز راه‌آهن قم- اصفهان

داده‌برداری با سرعت زیادی صورت می‌پذیرد. دستگاه دارای صفحاتی به قطر ۱۵ و ۳۰ سانتی‌متر بوده و اعمال بار ضربه‌ای با سقوط وزنه ۱۰ کیلوگرمی از ارتفاع ۵ اینچ (۱۲۷/۰ متر) الی ۲۷ اینچ (۶۸۶/۰ متر) صورت می‌گیرد. تاریخچه زمانی نیرو با استفاده از نیروسنج با دقت ۰/۳ نیوتون، و حداکثر افت و خیز ایجاد شده توسط ژئوفون و با دقت ۱/۰ میکرون اندازه‌گیری می‌شود. استفاده از این آزمایش در مسیر راه‌آهن قم- اصفهان اولین تجربه کاربرد این آزمایش در راه‌آهن ایران است. در طول این مسیر، از کیلومتر از ۱+۰۰۰ تا ۴۸+۵۰۰، تعداد ۷۸۵۰ تست افت و خیزسنج ضربه‌ای سبک انجام شده است. شکل ۲ تصویر دستگاه در مسیر مورد بررسی را نشان می‌دهد.



شکل ۲. استقرار دستگاه افت و خیزسنج ضربه‌ای سبک در مسیر خاکریز راه‌آهن قم- اصفهان

۴-۳. آزمایش بارگذاری صفحه

آزمایش بارگذاری صفحه، آزمایشی شناخته شده و قدیمی برای تعیین مدول الاستیسیته استاتیک خاک است. مدول الاستیسیته سیکل دوم بارگذاری این دستگاه که با نام E_{v2} شناخته می‌شود معیار ارزیابی

۲-۵. پردازش اطلاعات و استخراج روابط

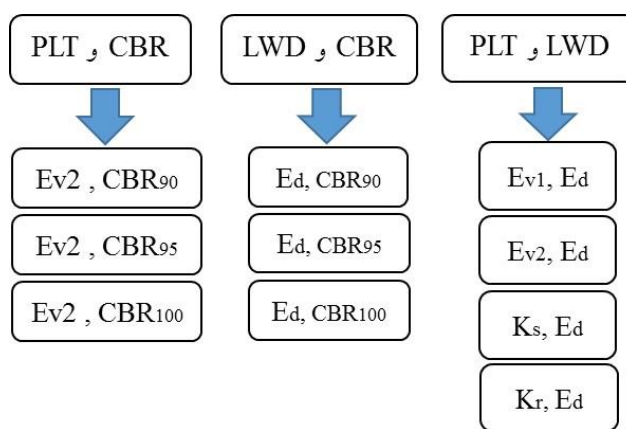
برای استخراج رابطه میان مدول الاستیسیته استاتیک و دینامیک و همچنین مدول الاستیسیته استاتیک و عدد CBR، از روش‌های رگرسیون با توابع خطی، سهموی و نمایی استفاده شده است. ضریب همبستگی در فرایند رگرسیون بیانگر میزان نزدیکی رابطه به دست آمده به نتایج واقعی مورد استفاده است. هر چقدر ضریب همبستگی به عدد یک نزدیکتر باشد خطای رابطه استخراج شده کمتر خواهد بود. در ادامه، روابط استخراج شده میان نتایج آزمایش‌های مختلف ارائه شده و رابطه‌ای که کمترین میزان خطا را داشته به عنوان رابطه بهینه انتخاب شده است. پارامترهای خروجی هر یک از آزمایش‌ها در جدول ۱ معرفی شده‌اند. شکل ۴، دسته‌بندی آزمایش‌هایی که داده‌های آنها در کنار یکدیگر پردازش شده و رابطه‌ی میان آنها استخراج شده است را نشان می‌دهد.

$$CBR = \frac{\sigma_{0.1} \text{ or } \sigma_{0.2}}{\sigma_s} \times 100 \quad (1)$$

که $\sigma_{0.1}$ و $\sigma_{0.2}$ به ترتیب تنש لازم جهت فرو بردن پیستونی با سطح مقطع ۳ اینچ مربع (۱۹۸۵ سانتی‌متر مربع) به درون خاک متراکم شده با درصد رطوبت بهینه تا عمق ۰/۱۰ یا ۰/۲۵۴ اینچ (۰/۵۰۸ متر) و تنش استاندارد است که مقدار آن ۷۰ و یا ۱۰۵ کیلوگرم بر سانتی‌متر مربع در نظر گرفته می‌شود. در مسیر پروژه راه‌آهن سریع‌السیر قم-اصفهان، از کیلومتر از ۱۱۰۰۰ تا ۴۸۰۰۰ حدود ۸۰ تست CBR و ۱۲۰ آزمایش سنجش تراکم انجام شده است.

جدول ۱. معرفی پارامترهای خروجی آزمایش‌های مورد بررسی

مدول الاستیسیته استاتیک سیکل اول بارگذاری	E_{v1}	آزمایش بارگذاری صفحه (PLT)
مدول الاستیسیته استاتیک سیکل دوم بارگذاری	E_{v2}	
ضریب عکس‌العمل بستر طبیعی در سیکل اول بارگذاری	K_s	
ضریب عکس‌العمل بستر طبیعی در سیکل دوم بارگذاری	K_r	
مدول الاستیسیته دینامیک	E_d	آزمایش افت و خیزسنج ضربه‌ای سبک (LWD)
شاخص نسبت باربری کالیفرنیا برای خاک با تراکم ۹۰٪	CBR_{90}	آزمایش نسبت باربری کالیفرنیا (CBR)
شاخص نسبت باربری کالیفرنیا برای خاک با تراکم ۹۵٪	CBR_{95}	
شاخص نسبت باربری کالیفرنیا برای خاک با تراکم ۱۰۰٪	CBR_{100}	

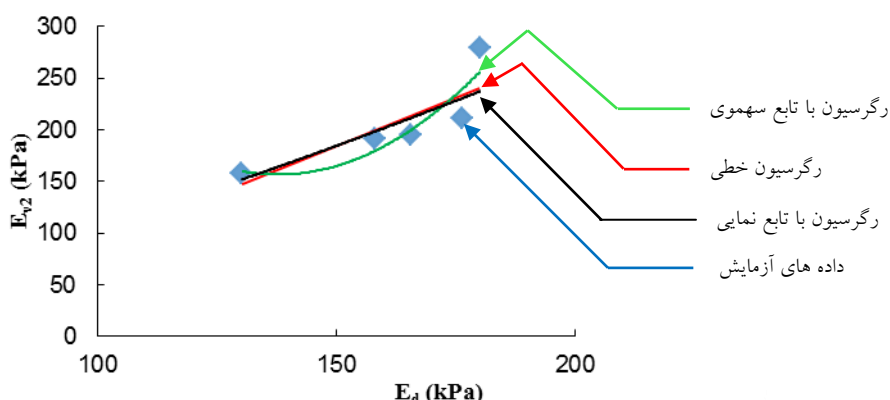


شکل ۴. دسته‌بندی داده‌های مورد بررسی آزمایش‌ها برای استخراج رابطه

۳. نتایج و بحث

۳-۱. تعیین روابط میان نتایج آزمایش‌های بارگذاری صفحه و افت و خیزسنج ضربه‌ای سبک

بر اساس جدول ۱، مدول الاستیسیته استاتیک و ضریب واکنش بستر طبیعی خروجی‌های آزمایش بارگذاری



شکل ۵. منحنی‌های برآذش یافته میان E_d و Ev_2 خاک نوع SM

نتایج در جدول ۳ ارائه گشته است. همانطور که مشاهده می‌گردد، این بار، در مورد خاک نوع SW-SM، استفاده از تابع نمایی به رابطه دقیق‌تری میان مدول استاتیک و دینامیک منجر شده است. اما به هر حال، مقایسه ضرایب همبستگی نشان می‌دهد که در مورد هر دو نوع خاک، بین E_d و Ev_2 نسبت به E_d و Ev_1 ، رابطه قوی‌تری وجود دارد، هرچند این تفاوت قابل ملاحظه نیست.

تابع رگرسیون میان نتایج مدول‌ها در جدول ۲ ارائه شده است. همانطور که در شکل ۵ مشاهده می‌گردد، و ضرایب همبستگی جدول ۲ نیز نشان می‌دهند، رابطه مربوط به رگرسیون با تابع سهموی کمترین میزان خطا را دارد. این فرایند برای خاک نوع SW-SM نیز تکرار گردید و بهترین رابطه از رگرسیون با تابع سهموی استخراج گردید. این عملیات برای استخراج رابطه میان دو مدول E_d و Ev_1 تکرار شده و خلاصه

جدول ۲. روابط به دست آمده از برآذش منحنی میان E_d و Ev_2

نوع خاک	ضریب همبستگی	رابطه استخراج شده میان E_d و Ev_2
	$R^2 = 0.680$	$Ev_2 = 1.870 E_d - 96.08$
	$R^2 = 0.807$	$*Ev_2 = 0.055 E_d^2 - 15.34 E_d + 1213$
	$R^2 = 0.740$	$Ev_2 = 0.186 E_d^{1.376}$
	$R^2 = 0.800$	$Ev_2 = 0.775 E_d - 1.068$
SM	$R^2 = 0.866$	$*Ev_2 = 0.002 E_d^2 - 0.613 E_d + 191.5$
	$R^2 = 0.656$	$Ev_2 = 1.619 E_d^{0.862}$

* رابطه بهینه

جدول ۳. روابط نهایی به دست آمده از برآذش منحنی میان E_d و E_{v1}

نوع خاک	ضریب همبستگی	رابطه استخراج شده میان E_d و E_{v1}
	$R^2 = 0.756$	$E_{v1} = 0.264 E_d + 1.488$
	$R^2 = 0.791$	$*E_{v1} = -0.002 E_d^2 + 1.148 E_d - 85.34$
	$R^2 = 0.734$	$E_{v1} = 0.210 E_d^{1.047}$
	$R^2 = 0.749$	$E_{v1} = 0.149 E_d + 30.85$
	$R^2 = 0.8009$	$E_{v1} = -0.0003 E_d^2 + 0.39 E_d - 4.6$
	$R^2 = 0.811$	$*E_{v1} = 1.653 E_d^{0.67}$

* رابطه بهینه

نگاهی به ضرایب همبستگی نشان می‌دهد که رابطه بین E_d و K_r نسبت به سایر روابط تحقیق شده قویتر بوده و خطای کمتری دارد.

روابط میان مدول دینامیک آزمایش افت و خیزسنج ضربه‌ای سبک و ضرایب واکنش بستر طبیعی آزمایش بازگذاری صفحه، در جداول ۴ و ۵ ارائه شده‌اند.

جدول ۴. روابط به دست آمده از برآذش منحنی میان E_d و K_s

نوع خاک	ضریب همبستگی	رابطه استخراج شده میان E_d و K_s
	$R^2 = 0.594$	$K_s = 0.064 E_d + 14.49$
	$R^2 = 0.651$	$*K_s = -0.0003 E_d^2 + 0.205 E_d - 1.52$
	$R^2 = 0.649$	$K_s = 1.19 E_d^{0.590}$
	$R^2 = 0.678$	$K_s = 0.144 E_d - 7.568$
	$R^2 = 0.702$	$*K_s = -0.000 E_d^2 + 0.386 E_d - 31.11$
	$R^2 = 0.768$	$K_s = 0.009 E_d^{1.458}$
	$R^2 = 0.774$	$K_s = 0.057 E_d + 14.97$
	$R^2 = 0.791$	$*K_s = 0.0001 E_d^2 - 0.0162 E_d + 26.18$
	$R^2 = 0.663$	$K_s = 1.656 E_d^{0.521}$

* رابطه بهینه

جدول ۵. روابط نهایی به دست آمده از برآذش منحنی میان E_d و K_r

نوع خاک	ضریب همبستگی	رابطه استخراج شده میان E_d و K_r
	$R^2 = 0.778$	$K_r = 0.130 E_d + 46.56$
	$R^2 = 0.971$	$*K_r = -0.0009 E_d^2 + 0.591 E_d - 5.758$
	$R^2 = 0.841$	$K_r = 6.436 E_d^{0.458}$
	$R^2 = 0.806$	$K_r = 0.132 E_d + 16.71$
	$R^2 = 0.819$	$*K_r = 0.000 E_d^2 - 0.017 E_d + 38.96$
	$R^2 = 0.626$	$K_r = 1.191 E_d^{0.676}$
	$R^2 = 0.896$	$K_r = 0.266 E_d - 0.076$
	$R^2 = 0.932$	$*K_r = 0.0006 E_d^2 - 0.151 E_d + 62.88$
	$R^2 = 0.916$	$K_r = 0.392 E_d^{0.931}$

* رابطه بهینه

شده است. در تحقیقات ایالت می‌سی‌بی، آزمایش‌های FWD و PLT روی ۱۰ قطعه بستر، شامل دامنه گستره‌ای از انواع خاک‌ها، انجام شده است. با توجه به تعداد آزمایش‌های صورت گرفته و دامنه وسیع خاک‌های مورد بررسی، رابطه ایالت

در بعضی موارد، ضریب K_r با K_{30} نشان داده می‌شود که منظور از آن ضریب عکس العمل سیکل دوم آزمایش بازگذاری صفحه، با صفحه بازگذاری مربعی ۳۰ سانتی‌متری می‌باشد. در ادبیات فنی، روابطی میان E_1 و K_{30} بستر طبیعی جاده‌ها توسط محققین ارائه

می‌سی‌سی‌پی یکی از روابط معترض در این زمینه محسوب می‌شود. روابط بهینه به دست آمده از این تحقیق و رابطه ایالت می‌سی‌سی‌پی در جدول ۶ ارائه شده‌اند.

جدول ۶. مقایسه روابط بهینه به دست آمده از برآذش منحنی میان E_d و K_r با رابطه ایالت می‌سی‌سی‌پی

نوع خاک	ضریب همبستگی	رابطه میان E_d و K_r یا K_{30}
SM	$R^2 = 0.971$	$K_r = -0.0009 E_d^2 + 0.591 E_d - 5.758$
SW-SM	$R^2 = 0.819$	$K_r = 0.000 E_d^2 - 0.017 E_d + 38.96$
SC	$R^2 = 0.932$	$K_r = 0.0006 E_d^2 - 0.151 E_d + 62.88$
رابطه ایالت می‌سی‌سی‌پی	$R^2 = 0.90$	$K_{30} = 0.287 E_d + 11.5$

و خیزسنج ضربه‌ای سبک و عدد CBR در سه زیرشاخه CBR خاک با تراکم ۹۰، ۹۵ و ۱۰۰ درصد در جدول ۷ ارائه شده است.

۲-۳. تعیین روابط میان آزمایش‌های CBR و افت و خیزسنج ضربه‌ای سبک روابط میان مدول الاستیسیته E_d آزمایش افت

جدول ۷. روابط به دست آمده از برآذش منحنی میان E_d و عدد CBR

تراکم خاک	ضریب هم بستگی	رابطه استخراج شده میان E_d و CBR
	$R^2 = 0.728$	$E_d = 13.48 \text{ CBR} - 87.89$
	$R^2 = 0.840$	$*E_d = -1.073 \text{ CBR}^2 + 75.96 \text{ CBR} - 965$
	$R^2 = 0.712$	$E_d = 1.627 \text{ CBR}^{1.551}$
	$R^2 = 0.755$	$E_d = 6.714 \text{ CBR} - 178.5$
	$R^2 = 0.922$	$*E_d = 0.321 \text{ CBR}^2 - 30.67 \text{ CBR} + 865.8$
	$R^2 = 0.781$	$E_d = 0.322 \text{ CBR}^{1.593}$
	$R^2 = 0.748$	$E_d = 4.340 \text{ CBR} - 223.2$
	$R^2 = 0.756$	$E_d = 0.032 \text{ CBR}^2 - 2.292 \text{ CBR} + 111.2$
	$R^2 = 0.836$	$*E_d = 0.026 \text{ CBR}^{1.945}$

* رابطه بهینه

آزمایش بارگذاری صفحه در سه زیرشاخه CBR خاک با تراکم ۹۰، ۹۵ و ۱۰۰ درصد در جدول ۸ ارائه شده است.

۳-۳. تعیین روابط میان آزمایش‌های CBR و بارگذاری صفحه روابط میان عدد CBR و مدول الاستیسیته سیکل دوم

جدول ۸. روابط به دست آمده از برآذش منحنی میان Ev_2 و عدد CBR

تراکم خاک	ضریب هم بستگی	رابطه استخراج شده میان Ev_2 و CBR
	$R^2 = 0.852$	$Ev_2 = 3.561 \text{ CBR} + 54.13$
	$R^2 = 0.884$	$*Ev_2 = -0.073 \text{ CBR}^2 + 9.324 \text{ CBR} - 41.98$
	$R^2 = 0.834$	$Ev_2 = 12.17 \text{ CBR}^{0.759}$
	$R^2 = 0.771$	$Ev_2 = 17.76 \text{ CBR} - 1078$
	$R^2 = 0.985$	$*Ev_2 = 5.677 \text{ CBR}^2 - 776.3 \text{ CBR} + 26662$
	$R^2 = 0.820$	$Ev_2 = 0.000 \text{ CBR}^{7.023}$
	$R^2 = 0.895$	$Ev_2 = 2.251 \text{ CBR} - 98.36$
	$R^2 = 0.959$	$*Ev_2 = 0.098 \text{ CBR}^2 - 20.38 \text{ CBR} + 1187$
	$R^2 = 0.902$	$Ev_2 = 0.09 \text{ CBR}^{1.575}$

* رابطه بهینه

پس از محاسبه مدول الاستیسیته دینامیک هر لایه، با استفاده از یک رابطه تحلیلی بین مدول الاستیسیته استاتیک و دینامیک، مدول استاتیک هر لایه نیز محاسبه می‌گردد.

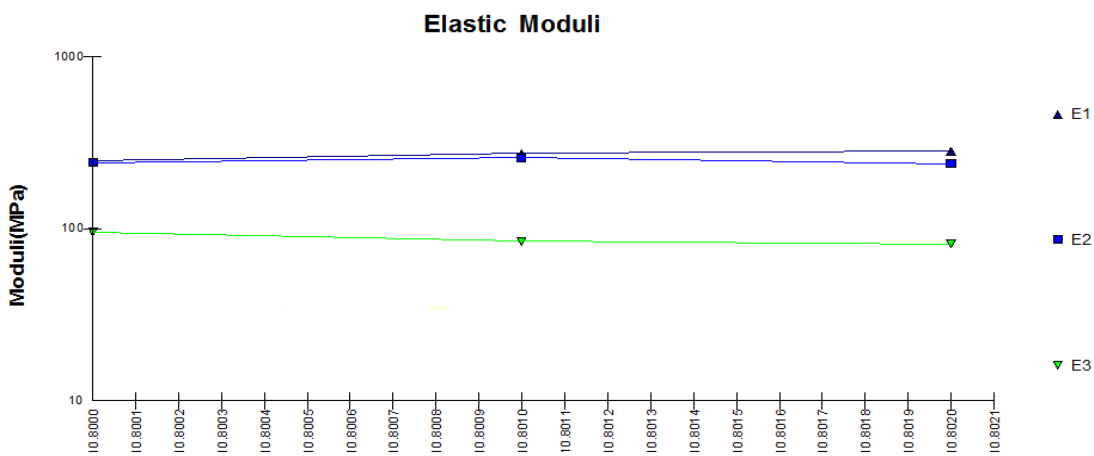
۴-۱. تعیین E_d هر لایه با تحلیل بازگشتی نرم‌افزار ELMOD5.0

برای انجام تحلیل بازگشتی، ۶ ایستگاه با ۶ نوع مصالح متفاوت درشت دانه و ریزدانه انتخاب شده و آزمایش افت و خیزسنج ضربه‌ای سبک با تعداد و فواصل یکسانی از ژئوفون‌ها صورت گرفته است. در هر ایستگاه، داده‌های برداشت شده در سه نقطه سمت چپ، مرکز و سمت راست خاکریز قرائت گردیده است. به عنوان نمونه، در شکل ۶، گراف‌های مدول دینامیک لایه‌های زیربالاست، بستر و بستر طبیعی که SM بترتیب با E_1 , E_2 و E_3 معرفی شده‌اند، برای خاک نشان داده شده است.

مقدار مدول‌های به دست آمده برای خاک SM در سه قرائت مختلف در جدول ۹ و برای سایر خاک‌ها در جدول ۱۰ ارائه شده است. با استفاده از این سه قرائت می‌توان میانگین مدول‌های محاسباتی و انحراف معیار نسبت به مقدار میانگین را محاسبه نمود. نسبت انحراف معیار به میانگین مدول محاسبه شده کمتر از ۲٪ است. لذا، خطای محاسبه ناچیز محسوب شده و مدول‌های محاسباتی به عنوان مدول واقعی لایه‌ها قابل قبول می‌باشند.

۴. تعیین مدول الاستیسیته لایه‌ها با تحلیل بازگشتی

زمانی که آزمایش افت و خیزسنج ضربه‌ای سبک و یا بارگذاری صفحه روی سطح خاکریز انجام می‌شود، الزاماً مشخصات تمامی لایه‌های زیرین در مدول به دست آمده از آزمایش تأثیرگذار است. برای محاسبه مدول هر لایه به صورت جداگانه، از تحلیل بازگشتی استفاده می‌شود. در نرم‌افزارهای تحلیل بازگشتی، تحلیل مستقیم یک محیط لایه‌ای تحت بار ثابت با استفاده از یک مدل رفتاری الاستیک صورت می‌گیرد. سپس، از یک الگوریتم بهینه‌سازی برای کمینه نمودن تابع خطای بین تغییرشکل محاسباتی و اندازه‌گیری شده استفاده می‌شود. در اینجا، برای انجام تحلیل بازگشتی روی نتایج تست LWD از نرم‌افزار ELMOD5.0 و روش تطبیق کاسه نشست استفاده شده است. این روش مبتنی بر عملیات سعی و خطای باشد. برای شروع تحلیل، یکسری مدول فرضی اولیه به لایه‌ها اختصاص داده شده و سپس تغییرشکل لایه‌ها محاسبه می‌گردد. تغییرشکل‌های محاسباتی نرم‌افزار با تغییرشکل‌های واقعی اندازه‌گیری شده در محل مقایسه می‌شوند. مدول‌های فرضی آنقدر تغییر می‌کنند تا تطابق قابل قبول میان این دو دسته تغییرشکل مشاهده گردد. پس از دستیابی به این تطابق، مدول‌های فرضی به عنوان مدول واقعی لایه‌ها پذیرفته می‌شوند. در این روش، حداقل ۵ لایه مورد تحلیل قرار می‌گیرند.



شکل ۶. مدول محاسبه شده توسط نرم افزار ELMOD5.0 از کیلومتر ۸۰+۸۰۰ تا ۸۰+۸۰۲ برای خاک SM

جدول ۹. مدول دینامیک محاسباتی لایه‌ها در سه قرائت مختلف و میانگین و انحراف معیار داده‌ها - خاک SM

کیلومتر ایستگاه	مدول دینامیک زیربالاست	مدول دینامیک بستر	مدول دینامیک بستر طبیعی
	E_{d3} (Mpa)	E_{d2} (Mpa)	E_{d1} (Mpa)
۱۰+۸۰۰	۹۵/۷۷	۲۴۳	۲۴۹/۸۳
۱۰+۸۰۱	۸۴/۸۰	۲۶۰	۲۷۵/۹۴
۱۰+۸۰۲	۸۲/۰۹	۲۴۰	۲۸۴/۳۰
میانگین ۳ قرائت	۸۷/۵۵	۲۴۷/۶۷	۲۷۰/۰۲
انحراف معیار	۱/۰۸۵	۱/۰۴۴	۱/۰۷۰

جدول ۱۰. میانگین و انحراف معیار مدول‌های دینامیک محاسباتی هر لایه توسط نرم افزار ELMOD5.0 برای خاک‌های مختلف

نوع خاک	کیلومتر ایستگاه	میانگین مدول			انحراف معیار
		E_{d3} (Mpa)	E_{d2} (Mpa)	E_{d1} (Mpa)	
SC-SM	۱۴+۳۰۰	۸۲	۲۴۳	۲۵۳	۱/۰۸۵
GM	۱۷+۸۰۰	۹۰	۲۷۵	۲۹۰	۱/۰۱۷
GC-GM	۲۰+۷۰۰	۷۰	۲۰۸	۲۲۹	۱/۰۲۲
CL	۲۱+۳۰۰	۸۴	۲۴۱	۲۴۶	۱/۰۱۱
SC	۲۱+۶۰۰	۲۴۴	۶۶۹	۶۸۶	۱/۱۴۵

نرم افزار، E_d برای مسیر قم - اصفهان، از روش‌های رگرسیون خطی و سهموی استفاده شده و به ترتیب روابط (۲) و (۳) به دست آمدند. منحنی‌های برازش یافته در شکل ۷ نشان داده شده‌اند. با توجه به این که خطای رابطه (۳) بسیار کم می‌باشد، می‌توان از این رابطه برای تعیین نسبت نهایی میان مدول استاتیک و دینامیک استفاده نمود:

۴-۲. تعیین مدول استاتیک هر لایه با استفاده از مدول دینامیک

پس از انجام تحلیل بازگشتی و تعیین مدول دینامیک هر لایه، می‌توان مدول استاتیک هر لایه را نیز به کمک روابط تحلیلی تعیین نمود. برای استخراج چنین رابطه‌ای بین مدول واقعی اندازه‌گیری شده در آزمایش بارگذاری صفحه، E_s و مدول دینامیک محاسباتی

ایالت می‌سی‌سی‌پی، یکی از معتبرترین روابط موجود بین مدول الاستیسیته استاتیک و دینامیک در ادبیات فنی است:

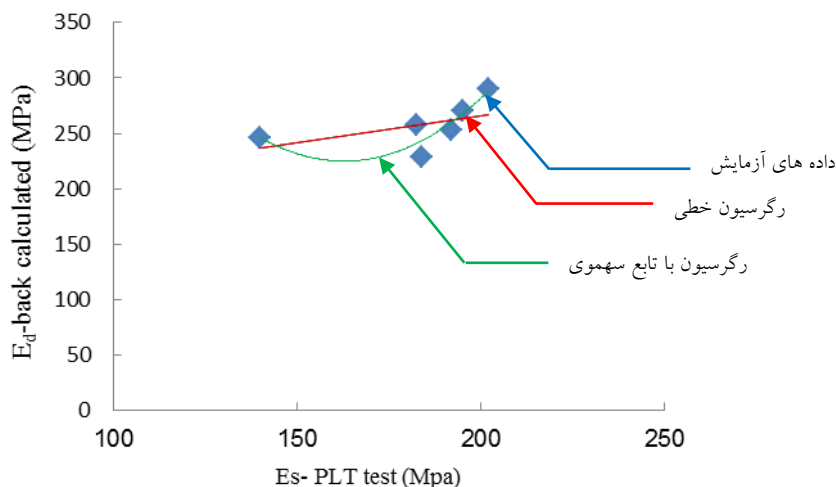
$$E_{v2} = (E_d + 7.48) / 1.41 \quad (4)$$

در رابطه فوق، E_d مدول الاستیسیته دینامیک آزمایش افت و خیزسنج ضربه‌ای سبک و E_{v2} مدول الاستیسیته استاتیک لایه بستر با واحد مگاپاسکال می‌باشد.

$$E_d = 0.595E_s + 150.19, (R^2 = 0.404) \quad (2)$$

$$E_d = 0.0447E_s^2 - 14.61E_s + 1416, (R^2 = 0.978) \quad (3)$$

در پژوهه تحقیقاتی ایالت می‌سی‌سی‌پی، آزمایش‌ها روی دامنه وسیعی از انواع خاک‌ها صورت گرفته‌اند و روابط به‌دست آمده برای خاک‌های مختلف قابل استفاده هستند. رابطه (4) مربوط به پژوهه تحقیقاتی



شکل ۷. استخراج رابطه میان مدول استاتیک اندازه‌گیری شده و مدول دینامیک محاسباتی

رابطه (4) مربوط به ایالت می‌سی‌سی‌پی نیز محاسبه شده و در جدول ارائه شده‌اند.

با استفاده از رابطه (3) و با داشتن مقادیر مدول دینامیک هر لایه، مقدار مدول استاتیک تعیین شده و در جدول ۱۱ ارائه شده است. برای مقایسه، مقادیر E_{v2} با

جدول ۱۱. مدول دینامیک و استاتیک محاسباتی لایه‌ها با استفاده از تحلیل بازگشتی و روابط تحلیلی

مدول استاتیک از رابطه (۳) (MPa)			مدول استاتیک از رابطه ایالت می‌سی‌سی‌پی (MPa)			مدول دینامیک از تحلیل بازگشتی نرم افزار ELMOD5.0 (MPa)			نوع خاک ایستگاه
بس‌تر طبیعی	بس‌تر زیربالاست	E_{s3}	بس‌تر طبیعی	بس‌تر زیربالاست	E_{s3}	بس‌تر طبیعی	بس‌تر زیربالاست	E_{d3}	
E_{s3}	E_{s2}	E_{s1}	E_{s3}	E_{s2}	E_{s1}	E_{s3}	E_{s2}	E_{d3}	
*	۱۸۷/۴۷	۱۹۶/۱۲	۶۷	۱۷۹/۰۶	۱۹۶/۸	۸۷	۲۴۸	۲۷۰	۱۰+۸۰۰ SM
*	۱۸۵/۰۱	۱۸۹/۶۸	۶۳	۱۷۶	۱۸۴	۸۲	۲۴۳	۲۵۳	۱۴+۳۰۰ SC-SM
*	۱۹۷/۸۱	۲۰۲/۴۰	۶۹	۲۰۰	۲۱۰	۹۰	۲۷۵	۲۹۰	۱۷+۸۰۰ GM
*	*	۱۷۵/۸۰	۵۵	۱۵۲	۱۶۸	۷۰	۲۰۸	۲۲۹	۲۰+۷۰۰ GC-GM
*	۱۸۳/۹۵	۱۸۶/۵۰	۶۵	۱۷۶	۱۷۸	۸۴	۲۴۱	۲۴۶	۲۱+۳۰۰ CL
۱۸۵/۵۳	۲۶۳/۴۱	۲۶۵/۳۰	۱۷۸	۴۸۰	۴۹۲	۲۴۴	۶۶۹	۶۸۶	۲۱+۶۰۰ SC

* با توجه به این که E_d از معادله درجه دوم ارائه شده در رابطه (3) محاسبه می‌گردد، در بعضی موارد معادله مذکور فاقد ریشه حقیقی بوده است.

تعیین گردیده است. خلاصه‌ای از مهمترین نتایج

به دست آمده از این تحقیق به شرح زیر است:

- برآژش منحنی میان داده‌های آزمایش‌ها بر خاک-های مختلف نشان داد که تقریباً در تمام موارد، رگرسیون با تابع سهموی به رابطه‌ای قویتر و با خطای کمتر میان پارامترهای مورد بررسی منجر می‌شود.

- در بررسی رابطه میان مدول دینامیک به دست آمده از آزمایش افت و خیزسنج ضربه‌ای سیک (E_d) با داده‌های تست بارگذاری صفحه شامل رابطه میان E_d و K_r ملاحظه گردید که قویترین

می‌شود.

- در مقایسه روابط استخراج شده میان مدول دینامیک به دست آمده از آزمایش افت و خیزسنج ضربه‌ای سبک (E_d) و داده‌های تست بارگذاری صفحه شامل E_{v2} , E_{v1} , K_r و K_s ملاحظه گردید که قویترین رابطه میان E_d و K_r به دست می‌آید.

- در مقایسه روابط استخراج شده میان مدول دینامیک به دست آمده از آزمایش افت و خیزسنج ضربه‌ای سبک (E_d) و داده‌های تست بارگذاری صفحه شامل E_{v2} , E_{v1} , K_r و K_s برای خاک‌های مختلف مشاهده گردید که کمترین خطای مربوط به رابطه به دست آمده برای خاک رده SC است.

- در استخراج رابطه میان نتایج تست نسبت بارگذاری کالیفرنیا با داده‌های آزمایش‌های بارگذاری صفحه و افت و خیزسنج ضربه‌ای سبک، در هر دو مورد بهترین رابطه برای CBR(٪۹۵) و با رگرسیون به وسیله تابع سهموی محاسبه گردید.

- بر اساس بررسی‌های صورت گرفته، جهت تعیین مدول استاتیک لایه‌های خاکریز راه‌آهن سریع السیر از روی مدول دینامیک، رابطه ($E_d = 0.0447 E_s^2 - 14.61 E_s + 1416$) پیشنهاد می‌گردد.

۵. نتیجه‌گیری

درصد تراکم خاکریز و شاخص نسبت بارگذاری کالیفرنیا، دو معیاری هستند که از گذشته به طور تجربی برای کنترل کیفی خاکریز راه‌آهن مورد استفاده قرار گرفته‌اند. آئین نامه‌های UIC 719R نسخه ۳۹۴ سازمان مدیریت و برنامه‌ریزی کشور، کنترل مدول ارجاعی لایه‌های خاکریز و بستر طبیعی را برای کنترل شکل‌پذیری الزامی دانسته‌اند. از این رو، ارزیابی خاکریز راه‌آهن سریع السیر بر اساس ضوابط آئین نامه‌ای، مستلزم دسترسی به مدول الاستیسیته استاتیک، E_{v2} است. این پارامتر از منحنی بار نشست مربوط به سیکل دوم آزمایش بارگذاری صفحه به دست می‌آید. با توجه به دشواری‌های اجرای این آزمایش و امکان اجرای سریعتر آزمایش‌های مانند افت و خیزسنج ضربه‌ای سبک و نسبت بارگذاری کالیفرنیا، روش‌های مختلف رگرسیون برای استخراج رابطه‌ای مناسب میان نتایج این سه آزمایش به کار گرفته شده است. این آزمایش‌ها روی خاکریز راه‌آهن سریع السیر قم-اصفهان انجام شده‌اند. با توجه به وجود الزامات آئین نامه‌ای برای E_{v2} ، هر یک از لایه‌های خاکریز راه‌آهن سریع السیر، ابتدا با کمک تحلیل بازگشتی به وسیله نرم‌افزار ELMOD5.0 روی نتایج تست افت و خیزسنج ضربه‌ای سبک، مدول دینامیک لایه‌ها به تفکیک محاسبه شده است. سپس، با استفاده از روابط تحلیلی میان مدول استاتیک و دینامیک، مدول استاتیک هر لایه

۶. مراجع

- AASHTO. 1993. "AASHTO Guide for Design of Pavement Structures". American Association of State Highway and Transportation Officials.
- Ali, N. A. and Khosla, N. P. 1987. "Determination of Layer Moduli using a Falling Weight Deflectometer". Transportation Research Record 1117, National Research Council, Washington, D.C., pp. 1-10.
- Camargo, F., Larsen, B., Chadbourne, B., Roberson, R. and Siekmeier, J. 2006. "Intelligent Compaction: A Minnesota Case History". 54th Annual University of Minnesota Geotechnical Conference, February 17.
- Chen, D. H., Bilyeu, J. and He, R. 1999. "Comparison of Resilient Moduli between Field and Laboratory Testing: A Case Study". The 78th Annual Meeting of the Transportation Research Board, Washington, D.C.

- George, K. P. 2003. "Falling Weight Deflectometer for Estimating Subgrade Resilient Moduli". Final Report, Research Division, Mississippi Department of Transportation, Jackson.
- Newcomb, D. E. 1987. "Comparison of field and laboratory estimated resilient moduli of pavement materials". Association of Asphalt Paving Technologists, Asphalt Paving Technol. 56: 91-106.
- Ullidtz, P. 1987. "Pavement Analysis". Elsevier, Amsterdam, The Netherlands.
- Van Deusen, D. A., Lenngren, C. A. and Newcomb, D. E. 1994. "A Comparison of Laboratory and Field Subgrade Moduli at the Minnesota Road Research Project". In: Von Quintas, H. L., Bush, A. J., Baladi, G. Y. (Eds.), Nondestructive Testing of Pavements and Backcalculation of Moduli, ASTM STP 1198.
- Von Quintas, H. L. and Killingsworth, B. M. 1998. "Comparison of Laboratory and In-Situ Determined Elastic Moduli". The 76th Annual Meeting of the Transportation Research Board, Washington, D.C.